

МИНИСТЕРСТВО ОБРАЗОВАНИЯ РЕСПУБЛИКИ БЕЛАРУСЬ
УЧРЕЖДЕНИЕ ОБРАЗОВАНИЯ
“БЕЛОРУССКИЙ ГОСУДАРСТВЕННЫЙ УНИВЕРСИТЕТ ТРАНСПОРТА”

Кафедра высшей математики

С. А. ДУДКО, Е. А. ЗАДОРЖНЮК,
А. И. ПРОКОПЕНКО

СИСТЕМЫ
ДИФФЕРЕНЦИАЛЬНЫХ УРАВНЕНИЙ

Часть 3

СИСТЕМЫ ДИФФЕРЕНЦИАЛЬНЫХ УРАВНЕНИЙ
СПЕЦИАЛЬНОГО ВИДА

Учебно-методическое пособие

Гомель 2013

МИНИСТЕРСТВО ОБРАЗОВАНИЯ РЕСПУБЛИКИ БЕЛАРУСЬ
УЧРЕЖДЕНИЕ ОБРАЗОВАНИЯ
“БЕЛОРУССКИЙ ГОСУДАРСТВЕННЫЙ УНИВЕРСИТЕТ ТРАНСПОРТА”

Кафедра высшей математики

С. А. ДУДКО, Е. А. ЗАДОРЖНЮК,
А. И. ПРОКОПЕНКО

СИСТЕМЫ
ДИФФЕРЕНЦИАЛЬНЫХ УРАВНЕНИЙ

Часть 3

СИСТЕМЫ ДИФФЕРЕНЦИАЛЬНЫХ УРАВНЕНИЙ
СПЕЦИАЛЬНОГО ВИДА

*Одобрено методической комиссией электротехнического факультета
в качестве учебно-методического пособия для студентов
электротехнических специальностей*

Гомель 2013

УДК 517.91(075.8)
ББК 22.161.6
Д81

Рецензент – зав. кафедрой высшей математики канд. физ.-мат. наук,
доцент *С. П. Новиков* (УО «БелГУТ»).

Дудко, С. А.

Д81 Системы дифференциальных уравнений : учеб.-метод. пособие :
в 3 ч. / С. А. Дудко, Е. А. Задорожнюк, А. И. Прокопенко; М-во
образования Респ. Беларусь, Белорус. гос. ун-т трансп. – Гомель :
БелГУТ, 2013. – Ч. 3 : Системы дифференциальных уравнений
специального вида. – 40 с.

ISBN 978-985-554-102-9 (ч. 3)

Изложены классические методы интегрирования систем линейных
дифференциальных уравнений с постоянными коэффициентами. Разобрано
большое количество примеров. Приведены упражнения для домашних
заданий.

Предназначено для студентов электротехнических специальностей, а
также может быть использовано студентами других факультетов.

УДК 517.91(075.8)
ББК 22.161.6

ISBN 978-985-554-102-9 (ч. 3)
ISBN 978-985-554-099-2

© Дудко С. А., Задорожнюк Е.А.,
Прокопенко А. И., 2013
© Оформление. УО «БелГУТ», 2013

6 ДИФФЕРЕНЦИАЛЬНЫЕ УРАВНЕНИЯ И СИСТЕМЫ ДИФФЕРЕНЦИАЛЬНЫХ УРАВНЕНИЙ С ПЕРИОДИЧЕСКИМИ ВНЕШНИМИ СИЛАМИ

В огромном числе задач: модельных и прикладных теоретической механики (прежде всего теории колебаний); теории линейных электрических цепей; теории автоматического регулирования – приходится сталкиваться с необходимостью описания переходных процессов в системах, на которые действуют периодические внешние силы. В этом разделе мы рассмотрим два подхода, позволяющих достаточно просто и эффективно находить решения дифференциальных уравнений и систем дифференциальных уравнений с периодическими внешними силами.

6.1 Метод Фурье

Рассмотрим классическую механическую задачу для демпфированного осциллятора (с учетом силы трения), на который действует периодическая сила $f(t)$ периода T , т.е. $f(t) = f(t+T)$. Уравнение, описывающее вынужденные колебания осциллятора под действием внешней силы $f(t)$, имеет вид

$$x''(t) + 2\lambda x'(t) + \omega_0^2 x(t) = f(t), \quad (6.1)$$

где λ – коэффициент трения, ω_0 – собственная частота осциллятора.

Периодическую функцию $f(t)$ представим ее рядом Фурье

$$f(t) = \frac{\alpha_0}{2} + \sum_{n=1}^{\infty} \left(\alpha_n \cos \frac{2\pi n t}{T} + \beta_n \sin \frac{2\pi n t}{T} \right),$$

или, переходя на язык циклической частоты $\omega = \frac{2\pi}{T}$, представим ряд

Фурье функции $f(t)$ в виде (как обычно ряд Фурье и представляют в задачах электротехники и теории колебаний)

$$f(t) = \frac{\alpha_0}{2} + \sum_{n=1}^{\infty} \alpha_n \cos n\omega t + \beta_n \sin n\omega t. \quad (6.2)$$

Как следствие, исходя из представления функции $f(t)$ в виде ряда (6.2), частное периодическое решение уравнения (6.1) будем искать, используя принцип суперпозиции частных решений, в виде

$$\bar{x}(t) = \bar{x}_0 + \sum_{n=1}^{\infty} \bar{x}_n(t),$$

где функция $\bar{x}_n(t)$ является решением уравнения

$$x'' + 2\lambda x' + \omega_0^2 x = \alpha_n \cos n\omega t + \beta_n \sin n\omega t. \quad (6.3)$$

Функцию $\bar{x}_n(t)$ ищем методом неопределенных коэффициентов в виде

$$\bar{x}_n(t) = A_n \cos n\omega t + B_n \sin n\omega t.$$

Подставляя функцию $\bar{x}_n(t)$, ее первую производную

$$\bar{x}_n'(t) = -A_n n\omega \sin n\omega t + B_n n\omega \cos n\omega t$$

и вторую производную

$$\bar{x}_n''(t) = -A_n n\omega^2 \cos n\omega t - B_n n\omega^2 \sin n\omega t$$

в уравнение (6.3), приходим к равенству

$$\begin{aligned} A_n \omega_0^2 - n\omega^2 + B_n n\tilde{\omega} \cos n\omega t + B_n \omega_0^2 - n\omega^2 - A_n n\tilde{\omega} \sin n\omega t = \\ = \alpha_n \cos n\omega t + \beta_n \sin n\omega t, \end{aligned}$$

где для упрощения выкладок и краткости записи мы ввели «частоту» $\tilde{\omega} = 2\lambda\omega$.

Из этого равенства и получаем требуемую систему уравнений

$$\begin{cases} A_n \omega_0^2 - n\omega^2 + B_n n\tilde{\omega} = \alpha_n, \\ -A_n n\tilde{\omega} + B_n \omega_0^2 - n\omega^2 = \beta_n, \end{cases}$$

решая которую, находим коэффициенты A_n и B_n (при этом вновь возвращаемся к явному виду для «частоты» $\tilde{\omega}$):

$$\begin{aligned} A_n &= \frac{\alpha_n \omega_0^2 - n\omega^2 - 2\alpha\beta_n n\omega}{n\omega^4 + 4\alpha^2 - 2\omega_0^2 n\omega^2 + \omega_0^4}, \\ B_n &= \frac{2\lambda\alpha_n n\omega + \beta_n \omega_0^2 - n\omega^2}{n\omega^4 + 4\alpha^2 - 2\omega_0^2 n\omega^2 + \omega_0^4}. \end{aligned} \quad (6.4)$$

Функция \bar{x}_0 , являющаяся решением уравнения

$$x'' + 2\lambda x' + \omega_0^2 x = \frac{\alpha_0}{2},$$

имеет вид

$$\bar{x}_0 = \frac{\alpha_0}{2\omega_0^2}.$$

Таким образом, частное периодическое решение уравнения (6.1) имеет вид

$$\bar{x}(t) = \frac{\alpha_0}{2\omega_0^2} + \sum_{n=1}^{\infty} A_n \cos n\omega t + B_n \sin n\omega t, \quad (6.5)$$

где коэффициенты ряда (6.5) A_n и B_n вычисляем по формулам (6.4).

Пример 1. Рассмотрим осциллятор с параметрами $\alpha = 1$, $\omega_0^2 = 2$. Уравнение вынужденных колебаний осциллятора под действием периодической силы $f(t)$ имеет вид

$$x'' + 2x' + 2x = f(t). \quad (6.6)$$

По формулам (6.4) находим коэффициенты ряда для частного периодического решения уравнения

$$A_n = \frac{\alpha_n (2 - n\omega^2) - 2\beta_n n\omega}{n\omega^4 + 4}, \quad B_n = \frac{2\alpha_n n\omega + \beta_n (2 - n\omega^2)}{n\omega^4 + 4}.$$

Как следствие, получаем

$$\begin{aligned} A_n \cos n\omega t + B_n \sin n\omega t &= \frac{1}{n\omega^4 + 4} \left[\alpha_n (2 - n\omega^2) - 2\beta_n n\omega \right] \cos n\omega t + \\ &+ \frac{2\alpha_n n\omega + \beta_n (2 - n\omega^2)}{n\omega^4 + 4} \sin n\omega t = \frac{1}{n\omega^4 + 4} \left[\alpha_n (2n \sin n\omega t - \right. \\ &- n\omega^2 - 2) \cos n\omega t - \beta_n (2n\omega \cos n\omega t + n\omega^2 - 2) \sin n\omega t = \\ &= \frac{1}{\sqrt{n\omega^4 + 4}} \left[\alpha_n \sin(n\omega t - \varphi_n) - \beta_n \cos(n\omega t - \varphi_n) \right], \end{aligned}$$

где $\operatorname{tg} \varphi_n = \frac{n\omega^2 - 2}{2n\omega}$.

Таким образом, выражение для частного решения данного уравнения (6.6) принимает вид

$$\bar{x}(t) = \frac{\alpha_0}{4} + \sum_{n=1}^{\infty} \frac{\alpha_n \sin n\omega t - \beta_n \cos n\omega t}{\sqrt{n\omega^4 + 4}} \quad (6.7)$$

Пусть периодическая сила $f(t)$ имеет вид, представленный на рисунке 1:

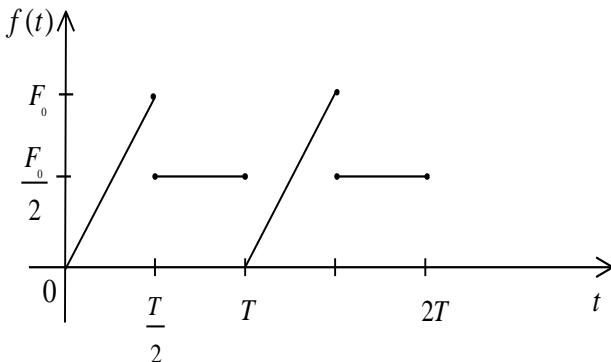


Рисунок 1

$$f(t) = F_0 \begin{cases} \frac{2t}{T}, & 0 \leq t < \frac{T}{2}, \\ \frac{1}{2}, & \frac{T}{2} \leq t < T. \end{cases}$$

Коэффициенты ряда Фурье для функции $f(t)$ вычисляем по формулам

$$\alpha_n = \frac{2}{T} \int_0^T f(t) \cos \frac{2\pi n t}{T} dt, \quad \beta_n = \frac{2}{T} \int_0^T f(t) \sin \frac{2\pi n t}{T} dt, \quad n = 1, 2, \dots,$$

$$\alpha_0 = \frac{2}{T} \int_0^T f(t) dt.$$

Для данной функции $f(t)$ получаем

$$\alpha_n = \frac{4F_0}{T^2} \int_0^{\frac{T}{2}} t \cos \frac{2\pi n t}{T} dt + \frac{F_0}{T} \int_{\frac{T}{2}}^T \cos \frac{2\pi n t}{T} dt = \frac{F_0}{\pi^2 n^2} \frac{1 - (-1)^n}{2},$$

$$\beta_n = \frac{4F_0}{T^2} \int_0^{\frac{T}{2}} t \sin \frac{2\pi n t}{T} dt + \frac{F_0}{T} \int_{\frac{T}{2}}^T \sin \frac{2\pi n t}{T} dt = -\frac{F_0 (1 + (-1)^n)}{2\pi n}.$$

Так как

$$(-1)^n - 1 = \begin{cases} -2, & n = 2k + 1, \\ 0, & n = 2k, \quad k = 0, 1, 2, \dots, \end{cases} \quad 1 + (-1)^n = \begin{cases} 2, & n = 2k, \quad k = 1, 2, \dots, \\ 0, & n = 2k + 1, \end{cases}$$

то получаем

$$\alpha_n = \alpha_{2k+1} = -\frac{2F_0}{\pi^2 (2k+1)^2}, \quad \beta_n = \beta_{2k} = -\frac{F_0}{2\pi k}, \quad \alpha_0 = \frac{4F_0}{T^2} \int_0^{\frac{T}{2}} t dt + \frac{F_0}{T} \int_{\frac{T}{2}}^T dt = F_0.$$

Подставляя полученные коэффициенты в формулу (6.7), находим частное периодическое решение исходного уравнения

$$\bar{x}(t) = \frac{F_0}{4} + \frac{F_0}{4\pi} \sum_{k=0}^{\infty} \frac{\cos 2k\omega t - j_{2k}}{k\sqrt{4k\omega^4 + 1}} - \frac{2F_0}{\pi^2} \sum_{k=1}^{\infty} \frac{\sin 2k+1 \omega t - j_{2k+1}}{2k+1^2 \sqrt{\omega^4 2k+1^4 + 4}},$$

$$\text{где } \operatorname{tg} j_{2k} = \frac{2k\omega^2 - 1}{2k\omega}, \quad \operatorname{tg} j_{2k+1} = \frac{\omega^2 2k+1^2 - 2}{2\omega 2k+1}.$$

6.2 Операционный метод

Эффективным методом решения дифференциальных уравнений и систем уравнений в ситуации, когда на систему действуют внешние периодические силы, является операционный метод. Рассмотрим особенности метода на конкретных примерах.

Пример 2. Найти лаплас-образы данных периодических функций.

а) Функция $f(t)$ периода T (рисунок 2). Аналитическая зависимость, определяющая функцию $f(t)$, имеет вид

$$f(t) = F_0 \begin{cases} \frac{2t}{T}, & 0 \leq t < \frac{T}{2}, \\ \frac{2(T-t)}{T}, & \frac{T}{2} \leq t < T. \end{cases} \quad (6.8)$$

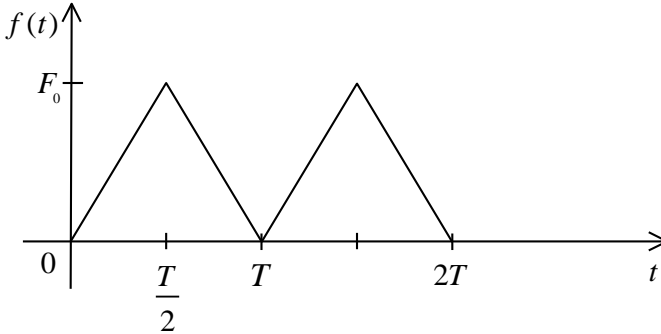


Рисунок 2

Лаплас-образ периодической функции находим, используя формулу (5.6), в которой определим $F_0 p = \int_0^T e^{-pt} f(t) dt$.

Получаем

$$\begin{aligned} F_0 p &= \frac{2}{T} \int_0^{\frac{T}{2}} t e^{-pt} dt + 2 \int_{\frac{T}{2}}^T \left(1 - \frac{t}{T}\right) e^{-pt} dt = -\frac{2}{pT} \left(t e^{-pt} \Big|_0^{\frac{T}{2}} + \frac{1}{p} e^{-pt} \Big|_0^{\frac{T}{2}} \right) + \\ &+ 2 \left(-\frac{1}{p} e^{-pt} \Big|_{\frac{T}{2}}^T \right) + \frac{2}{pT} \left(t e^{-pt} \Big|_{\frac{T}{2}}^T + \frac{1}{p} e^{-pt} \Big|_{\frac{T}{2}}^T \right) = \frac{2}{pT} \left(T e^{-pT} - T e^{-\frac{pT}{2}} \right) + \\ &+ \frac{2}{p^2 T} \left(e^{-pT} - 2e^{-\frac{pT}{2}} + 1 \right) - \frac{2}{p} \left(e^{-pT} - e^{-\frac{pT}{2}} \right) = \frac{2}{p^2 T} \left(1 - e^{-\frac{pT}{2}} \right)^2. \end{aligned}$$

Как следствие, лаплас-образ

$$F(p) = \frac{2 \left(1 - e^{-\frac{pT}{2}} \right)^2}{p^2 T (1 - e^{pT})} = \frac{2 \left(1 - e^{-\frac{pT}{2}} \right)}{p^2 T \left(1 + e^{-\frac{pT}{2}} \right)} = \frac{2 \left(e^{\frac{pT}{4}} - e^{-\frac{pT}{4}} \right)}{p^2 T \left(e^{\frac{pT}{4}} + e^{-\frac{pT}{4}} \right)} = \frac{2 \operatorname{sh} \frac{pT}{4}}{T p^2 \operatorname{ch} \frac{pT}{4}}.$$

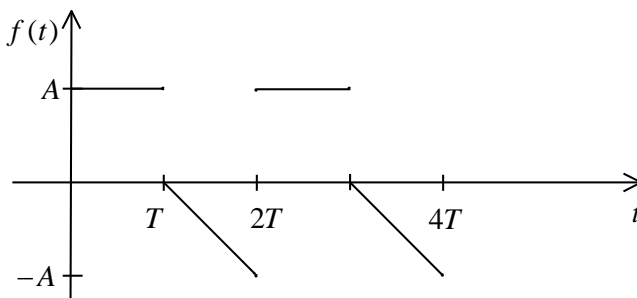
Таким образом, окончательно получаем

$$F(p) = \frac{2 \operatorname{sh} \frac{pT}{4}}{Tp^2 \operatorname{ch} \frac{pT}{4}}. \quad (6.9)$$

б) Пусть функция $f(t)$ имеет период $2T$, т.е. $f(t) = f(t + 2T)$ (рисунок 3). Аналитически данная функция задается формулами

$$f(t) = \begin{cases} A, & 0 \leq t < T, \\ A\left(1 - \frac{t}{T}\right), & T \leq t < 2T. \end{cases} \quad (6.10)$$

Рисунок 3



Меняя в формуле (5.6) T на $2T$, получаем выражение для лаплас-образа функции с периодом $2T$:

$$F(p) = \frac{F_0(p)}{1 - e^{-2pT}}, \quad \text{где } F_0(p) = \int_0^{2T} e^{-pt} f(t) dt.$$

Таким образом, получаем

$$\begin{aligned} F_0(p) &= A \left(\int_0^T e^{-pt} dt + \int_T^{2T} e^{-pt} dt - \frac{1}{T} \int_T^{2T} t e^{-pt} dt \right) = A \left(-\frac{1}{p} e^{-pt} \Big|_0^T - \right. \\ & \left. - \frac{1}{p} e^{-pt} \Big|_T^{2T} + \frac{1}{pT} \left(t e^{-pt} \Big|_T^{2T} + \frac{1}{p} e^{-pt} \Big|_T^{2T} \right) \right) = \frac{A}{Tp^2} \left(e^{-2pT} - e^{-pT} + \right. \\ & \left. + Tp \left(1 - e^{-pT} + e^{-2pT} \right) \right). \end{aligned}$$

Используя полученное соотношение для лаплас-образа $F_0(p)$, находим

$$F(p) = \frac{A e^{-2pt} - e^{-pt} + Tp(1 - e^{-pT} + e^{-2pT})}{Tp^2(1 - e^{-2pT})} =$$

$$= \frac{A(e^{-pt} - 1) + Tp(e^{pT} - 1 + e^{-pT})}{Tp^2(e^{pT} - e^{-pT})} = \frac{A(e^{-pT} - 1) + Tp(2\operatorname{ch}pT - 1)}{2Tp^2\operatorname{sh}pT}.$$

Итак, лаплас-образ данной периодической функции имеет вид

$$F(p) = \frac{A(e^{-pT} - 1) + Tp(2\operatorname{ch}pT - 1)}{2Tp^2\operatorname{sh}pT}. \quad (6.11)$$

Пример 3. Найти решение поставленной задачи Коши.

$$a) y'' + m^2 y = f(t), \quad y(0) = y'(0) = 1, \quad (6.12)$$

где $f(t)$ – периодическая функция, которая дается формулой (6.8).

Решение. Вводим лаплас-образ неизвестной функции $y(t) \rightarrow Y(p)$, лаплас-образ функции $f(t)$ дается формулой (6.9). С учетом начальных условий, переходим к лаплас-образам в обеих частях уравнения (6.12). Получаем

$$p^2 + m^2 Y(p) - p - 1 = F(p),$$

откуда находим

$$Y(p) = Y_1(p) + Y_2(p) = \frac{p+1}{p^2+m^2} + \frac{F(p)}{p^2+m^2}.$$

Рассмотрим сначала лаплас-образ $Y_2(p)$, который, с учетом формулы (6.9) для лаплас-образа $F(p)$, имеет вид

$$Y_2(p) = \frac{F(p)}{p^2+m^2} = \frac{2F_0\operatorname{sh}\frac{pT}{4}}{Tp^2(p^2+m^2)\operatorname{ch}\frac{pT}{4}} = \frac{2F_0\operatorname{sh}\frac{pT}{4}}{TB(p)}.$$

Далее находим функцию-оригинал, отвечающую лаплас-образу $Y_2(p)$.

Функция $B(p) = p^2(p^2+m^2)\operatorname{ch}\frac{pT}{4}$ имеет бесконечно много нулей в точках $p = p_n$, являющихся решениями уравнения

$\operatorname{ch} \frac{pT}{4} = 0$, $\frac{p_n T}{4} = i \left(\frac{\pi}{2} + \pi n \right)$, $p_n = \frac{i2\pi}{T} 2n+1 = i\omega 2n+1$ $\left(\omega = \frac{2\pi}{T} \right)$,
 $n = 0, 1, 2, \dots$. Нулю функции $B(p)$ в точке $p = p_n$ отвечает простой
 полюс (1-го порядка) функции $Y_2(p)$. Вычет функции $Y_2(p) e^{pt}$ в
 простом полюсе p_n находим по формуле [см. формулу (5.10)]

$$\operatorname{Res}_{p=p_n} Y_2(p) e^{pt} = \frac{2F_0}{T} \cdot \frac{\operatorname{sh} \frac{p_n T}{4} e^{p_n t}}{B'(p_n)}. \quad (6.13)$$

Находим производную функции $B(p)$:

$$B'(p) = \frac{T}{4} \operatorname{sh} \frac{pT}{4} p^2 p^2 + m^2 + \operatorname{ch} \frac{pT}{4} p^2 p^2 + m^2,$$

поэтому

$$\begin{aligned} B'(p_n) &= \frac{T}{4} \operatorname{sh} \frac{p_n T}{4} p_n^2 p_n^2 + m^2 + 0 = \text{подставляем } p_n = i\omega 2n+1 = \\ &= -\frac{T}{4} \operatorname{sh} \frac{p_n T}{4} \omega^2 2n+1^2 m^2 - \omega^2 2n+1^2 = \frac{T}{4} \operatorname{sh} \frac{p_n T}{4} \omega^2 2n+1^2 \times \\ &\quad \times \omega^2 2n+1^2 - m^2. \end{aligned}$$

Подставляя полученное соотношение для производной $B'(p_n)$ в
 равенство (6.13), получаем

$$\begin{aligned} \operatorname{Res}_{p=p_n} Y_2(p) e^{pt} &= \frac{8F_0}{T^2} \frac{\operatorname{sh} \frac{p_n T}{4} e^{p_n t}}{\operatorname{sh} \frac{p_n T}{4} \omega^2 2n+1^2 \omega^2 2n+1^2 - m^2} = \frac{8F_0}{T^2} \times \\ &\times \frac{e^{i\omega 2n+1 t}}{\omega^2 2n+1^2 \omega^2 2n+1^2 - m^2} = \frac{8F_0}{T^2} \cdot \frac{\cos \omega 2n+1 t + i \sin \omega 2n+1 t}{\omega^2 2n+1^2 \omega^2 2n+1^2 - m^2}. \end{aligned}$$

Выделяя в полученном выражении действительную часть, приходим
 к соотношению

$$\operatorname{Re} \operatorname{Res}_{p=p_n} Y_2(p) e^{pt} = \frac{8F_0}{T^2} \cdot \frac{\cos \omega 2n+1 t}{\omega^2 2n+1^2 \omega^2 2n+1^2 - m^2}. \quad (6.14)$$

Функция $Y_2 p$ имеет также два простых комплексно сопряженных полюса в точках $p = \pm im$ (корни уравнения $p^2 + m^2 = 0$). Представив лаплас-образ $Y_2 p$ в виде

$$Y_2 p = \frac{2F_0 \operatorname{sh} \frac{pT}{4}}{Tp^2 \frac{p - im}{p + im} \operatorname{ch} \frac{pT}{4}},$$

находим вычет в полюсе 1-го порядка $p = im$ [см. формулу (5.9) для случая кратности полюса $n_k = 1$]. В дальнейших вычислениях мы также будем использовать формулы, связывающие гиперболические функции мнимого аргумента с тригонометрическими функциями

$$\operatorname{ch} ix = \cos x, \quad \operatorname{sh} ix = i \sin x, \quad (6.15)$$

где x – действительное число.

Используя формулы (6.15), получаем

$$\begin{aligned} \operatorname{Res}_{p=im} Y_2 p e^{pt} &= \frac{2F_0}{T} \lim_{p \rightarrow im} \left[p - im \frac{\operatorname{sh} \frac{pT}{4}}{p^2 \frac{p - im}{p + im} \operatorname{ch} \frac{pT}{4}} \right] = \\ &= \frac{2F_0}{T} \cdot \frac{\operatorname{sh} \frac{imT}{4} e^{imt}}{2im \operatorname{ch} \frac{imT}{4}} = -\frac{F_0}{T} \cdot \frac{i \sin \frac{mT}{4} \cos mt + i \sin mt}{im^3 \cos \frac{mT}{4}} = \\ &= -\frac{F_0}{Tm^3} \operatorname{tg} \frac{mT}{4} \cos mt + i \sin mt. \end{aligned}$$

Далее выделяем действительную часть:

$$\operatorname{Res}_{p=im} Y_2 p e^{pt} = -\frac{F_0}{Tm^3} \operatorname{tg} \frac{mT}{4} \cos mt. \quad (6.16)$$

Рассмотрим точку $p = 0$. Используя разложение гиперболического синуса в ряд Маклорена

$$\operatorname{sh} \frac{pT}{4} = \frac{pT}{4} + \frac{1}{3!} \left(\frac{pT}{4} \right)^3 + \dots = \frac{pT}{4} \left(1 + \frac{1}{3!} \left(\frac{pT}{4} \right)^2 + \dots \right),$$

представим лаплас-образ $Y_2 p$ в виде

$$Y_2 p = \frac{2F_0}{T} \cdot \frac{\frac{pT}{4} \left(1 + \frac{1}{3!} \left(\frac{pT}{4} \right)^2 + \dots \right)}{p^2 p^2 + m^2 \operatorname{ch} \frac{pT}{4}} = \frac{F_0 \left(1 + \frac{1}{3!} \left(\frac{pT}{4} \right)^2 + \dots \right)}{2p p^2 + m^2 \operatorname{ch} \frac{pT}{4}}.$$

Из полученного соотношения видно, что точка $p = 0$ является полюсом 1-го порядка. Поэтому получаем

$$\operatorname{Res}_{p=0} Y_2 p e^{pt} = \frac{F_0}{2} \lim_{p \rightarrow 0} \left[p \frac{\left(1 + \frac{1}{3!} \left(\frac{pT}{4} \right)^2 + \dots \right) e^{pt}}{p p^2 + m^2 \operatorname{ch} \frac{pT}{4}} \right] = \frac{F_0 \cdot 1 + 0}{2m^2} = \frac{F_0}{2m^2}. \quad (6.17)$$

Суммируя результаты, даваемые соотношениями (6.14), (6.16), (6.17), находим функцию-оригинал для лаплас-образа $Y_2 p$. Получаем

$$\begin{aligned} Y_2 p &= \operatorname{Res}_{p=0} Y_2 p e^{pt} + 2 \operatorname{Re} \operatorname{Res}_{p=im} Y_2 p e^{pt} + \\ &+ \sum_{n=0}^{\infty} 2 \operatorname{Re} \operatorname{Res}_{p=p_n} Y_2 p e^{pt} = \frac{F_0}{2m^2} - \frac{2F_0}{Tm^3} \operatorname{tg} \frac{mT}{4} \cos mt + \\ &+ \frac{16F_0}{T^2} \sum_{n=0}^{\infty} \frac{\cos \omega \cdot 2n+1 t}{\omega^2 \cdot 2n+1^2 \cdot \omega^2 \cdot 2n+1^2 - m^2}. \end{aligned} \quad (6.18)$$

Лаплас-образ $Y_1 p$ представим в виде суммы двух табличных лаплас-образов:

$$Y_1 p = \frac{p+1}{p^2+m^2} = \frac{p}{p^2+m^2} + \frac{1}{m} \cdot \frac{m}{p^2+m^2} = \frac{p}{p^2+m^2} + \frac{1}{m} \cos mt + \frac{1}{m} \sin mt. \quad (6.19)$$

Суммируя функции-оригиналы (6.18), (6.19), находим решение поставленной задачи Коши:

$$\begin{aligned} y t &= \cos mt + \frac{1}{m} \sin mt + \frac{F_0}{2m^2} - \frac{2F_0}{Tm^3} \operatorname{tg} \frac{mT}{4} \cos mt + \\ &+ \frac{16F_0}{T^2} \sum_{n=0}^{\infty} \frac{\cos \omega \cdot 2n+1 t}{\omega^2 \cdot 2n+1^2 \cdot \omega^2 \cdot 2n+1^2 - m^2} = \frac{F_0}{2m^2} + \frac{1}{m} \sin mt + \\ &+ \left(1 - \frac{2F_0}{Tm^3} \operatorname{tg} \frac{mT}{4} \right) \cos mt + \frac{16F_0}{T^2} \sum_{n=0}^{\infty} \frac{\cos \omega \cdot 2n+1 t}{\omega^2 \cdot 2n+1^2 \cdot \omega^2 \cdot 2n+1^2 - m^2}. \end{aligned}$$

$$\text{б) } y'' - m^2 y = f(t), \quad y(0) = y'(0) = 0, \quad (6.20)$$

где $f(t)$ – периодическая функция вида (6.10).

Решение. Переходим к лаплас-образам в обеих частях уравнения (6.20). С учетом нулевых начальных условий получаем

$$p^2 - m^2 Y(p) = F(p),$$

где лаплас-образ $F(p)$ дается формулой (6.11). Из полученного уравнения находим лаплас-образ $Y(p)$, который имеет вид

$$Y(p) = \frac{F(p)}{p^2 - m^2} = \frac{A}{2T} \cdot \frac{e^{-pt} - 1 + Tp \operatorname{ch} pT - 1}{p^2 (p^2 - m^2) \operatorname{sh} pT} = \frac{A}{2T} \cdot \frac{C(p)}{B(p)}.$$

Далее вновь находим все нули функции $B(p) = p^2 (p^2 - m^2) \operatorname{sh} pT$.

Из уравнения $\operatorname{sh} pT = 0$ получаем бесконечно много нулей:

$$p_n T = i\pi n, \quad p_n = \frac{i\pi n}{T}, \quad n = 1, 2, \dots$$

Вычисляем вычет функции $Y(p) e^{pt}$ в полюсе первого порядка $p = p_n$. Производная функции $B(p)$ имеет вид

$$B'(p) = T \operatorname{ch} pT p^2 (p^2 - m^2) + \operatorname{sh} pT (p^2 (p^2 - m^2))',$$

поэтому [в дальнейших вычислениях вновь используем формулы (6.15)]

$$\begin{aligned} B'(p_n) &= T \operatorname{ch} p_n T p_n^2 (p_n^2 - m^2) + 0 = T \cos \pi n \left(-\frac{\pi n^2}{T^2} \right) \times \\ &\times \left(-\frac{\pi n^2}{T^2} - m^2 \right) = \frac{1}{T^3} (-1)^n \pi n^2 (\pi n^2 + mT^2). \end{aligned}$$

Так как

$$e^{-p_n T} = e^{-i\pi n} = \cos \pi n - i \sin \pi n = (-1)^n,$$

то для функции $C(p) = e^{-pt} - 1 + Tp \operatorname{ch} pT - 1$ при $p = p_n$ получаем

$$C(p_n) = (-1)^n - 1 + i\pi n (2 \cos \pi n - 1) = (-1)^n - 1 + i\pi n (2(-1)^n - 1).$$

Используя полученные соотношения, находим

$$\begin{aligned} \operatorname{Res}_{p=p_n} Y p e^{pt} &= \frac{A}{2T} \cdot \frac{C p_n}{B' p_n} e^{p_n t} = \frac{AT^2}{2} \cdot \frac{-1^n - 1 + i\pi n^2 - 1^n - 1}{-1^n \pi n^2 \pi n^2 + mT^2} \times \\ &\times e^{\frac{i\pi n t}{T}} = \frac{1}{2} AT^2 \frac{1 - (-1)^n + i\pi n^2 - 1^n}{\pi n^2 \pi n^2 + mT^2} \left(\cos \frac{\pi n t}{T} + i \sin \frac{\pi n t}{T} \right). \end{aligned}$$

Выделяя в полученном выражении действительную часть, приходим к соотношению

$$\operatorname{Re} \operatorname{Res}_{p=p_n} (Y p e^{pt}) = \frac{1}{2} AT^2 \frac{(1 - (-1)^n) \cos \frac{\pi n t}{T} - \pi n (2 - (-1)^n) \sin \frac{\pi n t}{T}}{\pi n^2 \pi n^2 + mT^2}. \quad (6.21)$$

Функция $B p$ имеет также два действительных нуля $p = \pm m$, являющихся решениями уравнения $p^2 - m^2 = 0$.

Представив лаплас-образ $Y p$ в виде

$$Y p = \frac{A}{2T} \cdot \frac{e^{-pt} - 1 + Tp \operatorname{ch} pT - 1}{p^2 p - m p + m \operatorname{sh} pT},$$

находим вычеты функции $Y p e^{pt}$ в полюсах $p = \pm m$:

$$\begin{aligned} \operatorname{Res}_{p=m} Y p e^{pt} &= \frac{A}{2T} \lim_{p \rightarrow m} \left[p - m \frac{e^{-pT} - 1 + Tp \operatorname{ch} pT - 1}{p^2 p - m p + m \operatorname{sh} pT} e^{pt} \right] = \\ &= \frac{A}{4T} \cdot \frac{e^{-mT} - 1 + Tm \operatorname{ch} mT - 1}{m^3 \operatorname{sh} mT} e^{mt}. \end{aligned}$$

$$\begin{aligned} \operatorname{Res}_{p=-m} Y p e^{pt} &= \frac{A}{2T} \lim_{p \rightarrow -m} \left[p + m \frac{e^{-pT} - 1 + Tp \operatorname{ch} pT - 1}{p^2 p - m p + m \operatorname{sh} pT} e^{pt} \right] = \\ &= \frac{A}{4T} \cdot \frac{e^{mT} - 1 - Tm \operatorname{ch} mT - 1}{m^3 \operatorname{sh} mT} e^{-mt}. \end{aligned}$$

Суммируя эти два соотношения, получаем

$$\operatorname{Res}_{p=m} Y p e^{pt} + \operatorname{Res}_{p=-m} Y p e^{pt} = \frac{A}{4Tm^3 \operatorname{sh} mT} (e^{-mT} - 1) e^{mt} +$$

$$\begin{aligned}
 & + e^{mT} - 1 - e^{-mt} + Tm \operatorname{ch}mT - 1 - e^{mt} - e^{-mT} = \frac{A}{4Tm^3 \operatorname{sh}mT} \times \\
 & \times 2\operatorname{ch}m t - T - 2\operatorname{ch}mt + 2Tm \operatorname{ch}mT - 1 - \operatorname{sh}mt . \quad (6.22)
 \end{aligned}$$

Чтобы определить порядок полюса в точке $p=0$, используем разложение гиперболических функций и экспоненты в ряд Маклорена:

$$\operatorname{ch}z = 1 + \frac{z^2}{2!} + \frac{z^4}{4!} + \dots, \quad \operatorname{sh}z = z + \frac{z^3}{3!} + \frac{z^5}{5!} + \dots, \quad e^z = 1 + z + \frac{z^2}{2!} + \frac{z^3}{3!} + \dots. \quad (6.23)$$

Для функции $C p$ получаем (используем разложение для гиперболического косинуса и экспоненты)

$$\begin{aligned}
 C p & = 1 - pT + \frac{pT^2}{2!} - \frac{pT^3}{3!} + \dots - 1 + Tp \left(2 + 2 \frac{pT^2}{2!} + \right. \\
 & \left. + 2 \frac{pT^4}{4!} + \dots - 1 \right) = pT \left(pT^2 + \frac{2}{4!} pT^4 + \dots + \frac{1}{2!} pT - \right. \\
 & \left. - \frac{1}{3!} pT^2 + \dots \right) = pT^2 \left(\frac{1}{2} + \frac{5}{6} pT + \dots \right).
 \end{aligned}$$

Соответственно, функцию $B p$ приводим к виду (используем разложение для гиперболического синуса)

$$B p = p^3 T p^2 - m^2 \left(1 + \frac{1}{3!} pT^2 + \dots \right).$$

Как следствие, лаплас-образ $Y p$ принимает вид

$$Y p = \frac{A}{2T} \frac{A}{B} \frac{p}{p} = \frac{A}{2} \frac{\frac{1}{2} + \frac{5}{6} pT + \dots}{p p^2 - m^2 \left(1 + \frac{1}{3!} pT^2 + \dots \right)}.$$

Как следует из полученного выражения, точка $p=0$ является полюсом 1-го порядка для функции $Y p$. Поэтому получаем

$$\begin{aligned} \operatorname{Res}_{p=0} Y p e^{pt} &= \frac{A}{2} \lim_{p \rightarrow 0} \left[p \frac{\frac{1}{2} + \frac{5}{6} pT + \dots}{p^2 - m^2} \frac{1}{1 + \frac{1}{3!} pT^2 + \dots} \right] = \\ &= \frac{A}{2} \frac{\frac{1}{2} + 0}{0 - m^2} = -\frac{A}{4m^2}. \end{aligned} \quad (6.24)$$

Суммируя результаты, даваемые формулами (6.21), (6.22), (6.24), находим функцию $y(t)$, являющуюся решением поставленной задачи Коши:

$$\begin{aligned} y(t) &= \operatorname{Res}_{p=0} Y p e^{pt} + \operatorname{Res}_{p=m} Y p e^{pt} + \operatorname{Res}_{p=-m} Y p e^{pt} + \\ &+ \sum_{n=1}^{\infty} 2 \operatorname{Re} \operatorname{Res}_{p=p_n} Y p e^{pt} = -\frac{A}{4m^2} + \frac{A}{4Tm^3 \operatorname{sh}mT} 2 \operatorname{ch}m(t-T) - \\ &\quad - 2 \operatorname{ch}mT + 2mT \frac{2 \operatorname{ch}mT - 1}{2} \operatorname{sh}mt + AT^2 \times \\ &\quad \times \sum_{n=1}^{\infty} \frac{1 - (-1)^n \cos \frac{\pi n t}{T} - \pi n \frac{2 - (-1)^n \sin \frac{\pi n t}{T}}{\pi n^2 + mT^2}}{\pi n^2 + mT^2} = -\frac{A}{4m^2} + \\ &\quad + \frac{A}{2Tm^3 \operatorname{sh}mT} \operatorname{ch}m(t-T) - \operatorname{ch}mt + Tm \frac{2 \operatorname{ch}mT - 1}{2} \operatorname{sh}mt + \\ &\quad + \frac{2AT^2}{\pi^2} \sum_{k=0}^{\infty} \frac{1}{2k+1} \frac{1}{\pi^2 (2k+1)^2 + mT^2} \cos \frac{\pi (2k+1)t}{T} - \\ &\quad - \frac{AT^2}{\pi} \sum_{n=1}^{\infty} \frac{2 - (-1)^n}{\pi n^2 + mT^2} \sin \frac{\pi n t}{T}. \end{aligned}$$

Совершенно аналогичным образом операционный метод может быть использован и для решения систем дифференциальных уравнений.

Пример 4. Найти решение задачи Коши для данной системы дифференциальных уравнений

$$\begin{cases} y' + z = f(t), \\ z' + y = 0, \quad y(0) = z(0) = 0, \end{cases} \quad (6.25)$$

где $f(t)$ – периодическая функция периода T (рисунок 4).

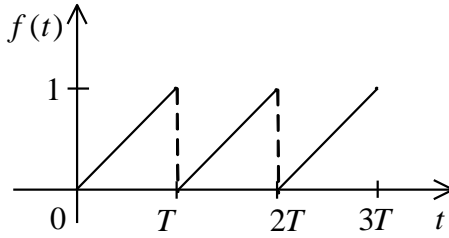


Рисунок 4

Решение. Аналитическая зависимость для функции $f(t)$ имеет вид $f(t) = \frac{t}{T}$, где $t \in [0; T)$. По формуле (5.6) находим лаплас-образ функции $f(t)$

$$F(p) = \frac{F_0}{1 - e^{-pT}},$$

где

$$\begin{aligned} F_0(p) &= \frac{1}{T} \int_0^T t e^{-pt} dt = -\frac{1}{pT} \left(T e^{-pT} + \frac{1}{p} e^{-pT} - 1 \right) = \\ &= \frac{1}{p^2 T} (1 - e^{-pT} - pT e^{-pT}). \end{aligned}$$

Как следствие, получаем

$$F(p) = \frac{1 - e^{-pT} - pT e^{-pT}}{p^2 T (1 - e^{-pT})} = \frac{\left(e^{\frac{pT}{2}} - e^{-\frac{pT}{2}} - pT e^{-\frac{pT}{2}} \right)}{p^2 T \left(e^{\frac{pT}{2}} - e^{-\frac{pT}{2}} \right)} = \frac{2 \operatorname{sh} \frac{pT}{2} - pT e^{-\frac{pT}{2}}}{2 p^2 T \operatorname{sh} \frac{pT}{2}}.$$

Вводим лаплас-образы неизвестных функций $y(t) \rightarrow Y(p)$, $z(t) \rightarrow Z(p)$. Тогда, после перехода к соответствующим лаплас-образам в системе уравнений (6.25). Получаем систему уравнений вида

$$\begin{cases} pY(p) + Z(p) = F(p), \\ Y(p) + pZ(p) = 0. \end{cases} \quad (6.26)$$

С учетом явного выражения для лаплас-образа $F(p)$ находим из системы уравнений (6.26) лаплас-образ

$$Y(p) = \frac{pF(p)}{p^2 - 1} = \frac{2\text{sh} \frac{pT}{2} - pTe^{-\frac{pT}{2}}}{2Tp(p^2 - 1) \text{sh} \frac{pT}{2}} = \frac{2\text{sh} \frac{pT}{2} - pTe^{-\frac{pT}{2}}}{2TB_1(p)}.$$

Далее находим функцию-оригинал, отвечающую лаплас-образу $Y(p)$. Функция $B_1(p) = p^2 - 1 \text{sh} \frac{pT}{2}$ имеет нули в точках

$$p_n = \frac{i2\pi n}{T} = i\omega_n, \quad n = 1, 2, \dots \quad (\text{корни уравнения } \text{sh} \frac{pT}{2} = 0).$$

Производная функции $B_1(p)$

$$B_1'(p) = \frac{T}{2} \text{ch} \frac{pT}{2} p(p^2 - 1) + \text{sh} \frac{pT}{2} p(p^2 - 1)',$$

поэтому

$$B_1'(p_n) = \frac{T}{2} \text{ch} i\pi n \cdot i\omega_n - \omega_n^2 - 1 = -\frac{T}{2} i(-1)^n \omega_n (\omega_n^2 + 1).$$

Используя полученное соотношение для производной $B_1'(p_n)$, находим вычет функции $Y(p)e^{pt}$ в полюсе 1-го порядка $p_n = i\omega_n$:

$$\begin{aligned} \text{Res}_{p=p_n} Y(p)e^{pt} &= -\frac{Tp_n e^{-\frac{p_n T}{2}} e^{p_n t}}{2TB_1'(p_n)} = \frac{1}{T} \cdot \frac{i\omega_n e^{-i\pi n} e^{i\omega_n t}}{i(-1)^n \omega_n (\omega_n^2 + 1)} = \\ &= \frac{1}{T} \cdot \frac{\cos n\omega t + i \sin n\omega t}{\omega_n^2 + 1}. \end{aligned}$$

Как следствие,

$$\text{ReRes}_{p=p_n} Y(p)e^{pt} = \frac{1}{T} \cdot \frac{\cos n\omega t}{\omega_n^2 + 1}. \quad (6.27)$$

Из уравнения $p^2 - 1 = 0$ получаем два полюса 1-го порядка $p = \pm 1$.

Вычисляем вычеты функции $Y(p)e^{pt}$ в этих полюсах

$$\text{Res}_{p=1} Y(p)e^{pt} = \frac{1}{2T} \lim_{p \rightarrow 1} \left[p-1 \frac{\left(2\text{sh} \frac{pT}{2} - pTe^{-\frac{pT}{2}} \right) e^{pt}}{p(p-1)(p+1) \text{sh} \frac{pT}{2}} \right] =$$

$$= \frac{1}{4T} \cdot \frac{2\text{sh}\frac{T}{2} - Te^{-\frac{T}{2}}}{\text{sh}\frac{T}{2}} e^t = \frac{1}{4T} \left(2e^t - \frac{T}{\text{sh}\frac{T}{2}} e^{t-\frac{T}{2}} \right), \quad (6.28)$$

$$\begin{aligned} \text{Res}_{p=-1} Y p e^{pt} &= \frac{1}{2T} \lim_{p \rightarrow -1} \left[p+1 \frac{\left(2\text{sh}\frac{pT}{2} - pTe^{-\frac{pT}{2}} \right) e^{pt}}{p p-1 p+1 \text{sh}\frac{pT}{2}} \right] = \\ &= \frac{1}{4T} \cdot \frac{2\text{sh}\frac{T}{2} - Te^{-\frac{T}{2}}}{\text{sh}\frac{T}{2}} e^{-t} = \frac{1}{4T} \left(2e^{-t} - \frac{T}{\text{sh}\frac{T}{2}} e^{-t-\frac{T}{2}} \right). \quad (6.29) \end{aligned}$$

Точка $p=0$ не является полюсом функции $Y p$. Действительно, используя формулу (6.23), для функции в числителе дроби $Y p$ получаем

$$\begin{aligned} 2\text{sh}\frac{pT}{2} - pTe^{-\frac{pT}{2}} &= pT \left(1 + \frac{1}{3!} \left(\frac{pT}{2} \right)^2 + \frac{1}{5!} \left(\frac{pT}{2} \right)^4 + \dots \right) - \\ - pT \left(1 - \frac{pT}{2} + \frac{1}{2!} \left(\frac{pT}{2} \right)^2 + \dots \right) &= \frac{1}{2} \left(\frac{pT}{2} \right)^2 \left(1 - \frac{1}{6} pT + \dots \right). \quad (6.30) \end{aligned}$$

Разлагая также в ряд Маклорена функцию $\text{sh}\frac{pT}{2}$ в знаменателе дроби $Y p$, приводим лаплас-образ $Y p$ к виду

$$Y p = \frac{1}{2T} \cdot \frac{\frac{1}{2} pT^2 \left(1 - \frac{1}{6} pT + \dots \right)}{\frac{1}{2} p^2 T \left(p^2 - 1 \right) \left(1 + \frac{1}{3!} \left(\frac{pT}{2} \right)^2 + \dots \right)} = \frac{1 - \frac{1}{6} pT + \dots}{2 p^2 - 1 \left(1 + \frac{1}{3!} \left(\frac{pT}{2} \right)^2 + \dots \right)}.$$

Из полученного выражения выражения видно, что в точке $p=0$ функция $Y p$ равна конечной величине.

Суммируя результаты равенств (6.27), (6.28), (6.29), находим функцию $y(t)$ [оригинал лаплас-образа $Y(p)$]:

$$\begin{aligned}
 y(t) &= \operatorname{Res}_{p=-1} Y(p) e^{pt} + \operatorname{Res}_{p=-1} Y(p) e^{pt} + \sum_{n=1}^{\infty} 2 \operatorname{Re} \operatorname{Res}_{p=p_n} Y(p) e^{pt} = \\
 &= \frac{1}{4T} \left(2e^t - \frac{T}{\operatorname{sh} \frac{T}{2}} e^{t-\frac{T}{2}} \right) + \frac{1}{4T} \left(2e^{-t} - \frac{T}{\operatorname{sh} \frac{T}{2}} e^{-t-\frac{T}{2}} \right) + \frac{2}{T} \sum_{n=1}^{\infty} \frac{\cos n\omega t}{\omega^2 + 1} = \\
 &= \frac{1}{4T} \left(2(e^t + e^{-t}) - \frac{T}{\operatorname{sh} \frac{T}{2}} (e^{t-\frac{T}{2}} + e^{-t-\frac{T}{2}}) \right) = \frac{1}{4T} \left(4 \operatorname{ch} t - \frac{2T}{\operatorname{sh} \frac{T}{2}} \operatorname{ch} \left(t - \frac{T}{2} \right) \right) + \\
 &\quad + 2T \sum_{n=1}^{\infty} \frac{1}{2\pi n^2 + T^2} \cos \frac{2\pi n t}{T} = \frac{1}{T} \operatorname{ch} t - \frac{1}{2 \operatorname{sh} \frac{T}{2}} \operatorname{ch} \left(t - \frac{T}{2} \right) + \\
 &\quad + 2T \sum_{n=1}^{\infty} \frac{1}{2\pi n^2 + T^2} \cos \frac{2\pi n t}{T}.
 \end{aligned}$$

Из второго уравнения системы уравнений (6.26) получаем

$$\begin{aligned}
 Z(p) &= -\frac{1}{p} Y(p) = -\frac{F}{p^2 - 1} = -\frac{\operatorname{sh} \frac{pT}{2} - pT e^{-\frac{pT}{2}}}{2Tp^2(p^2 - 1) \operatorname{sh} \frac{pT}{2}} = \\
 &= \frac{Tpe^{-\frac{pT}{2}} - 2 \operatorname{sh} \frac{pT}{2}}{2Tp^2(p^2 - 1) \operatorname{sh} \frac{pT}{2}} = \frac{Tpe^{-\frac{pT}{2}} - 2 \operatorname{sh} \frac{pT}{2}}{2TB_2 p}.
 \end{aligned}$$

Производная $B_2(p)$ имеет вид

$$B_2'(p) = \frac{T}{2} \operatorname{ch} \frac{pT}{2} p^2(p^2 - 1) + \operatorname{sh} \frac{pT}{2} p^2(p^2 - 1)'_p,$$

поэтому

$$B_2'(p_n) = B_2'(i\omega n) = \frac{T}{2} (-1)^n \omega n^2 (\omega n^2 + 1).$$

Используя это соответствие, вычисляем вычет функции $Z p e^{pt}$ в полюсе $p_n = i\omega n$:

$$\begin{aligned} \operatorname{Res}_{p=p_n} Z p e^{pt} &= \frac{T p e^{\frac{p_n T}{2}} e^{p_n t}}{2TB'_2 p_n} = \frac{1}{T} \cdot \frac{i\omega n e^{-i\pi n} e^{i\omega n t}}{-1^n \omega n^2 \omega n^2 + 1} = \\ &= \frac{1}{T} \cdot \frac{i \cos n\omega t + i \sin n\omega t}{\omega n \omega n^2 + 1}. \\ \operatorname{ReRes}_{p=p_n} Z p e^{pt} &= -\frac{1}{T} \cdot \frac{\sin n\omega t}{\omega n \omega n^2 + 1}. \end{aligned} \quad (6.31)$$

Далее вычисляем вычеты функции $Z p e^{pt}$ в действительных полюсах:

$$\operatorname{Res}_{p=1} Z p e^{pt} = \frac{1}{4T} \frac{T e^{\frac{T}{2}} - 2\operatorname{sh} \frac{T}{2}}{\operatorname{sh} \frac{T}{2}} e^t, \quad (6.32)$$

$$\operatorname{Res}_{p=-1} Z p e^{pt} = -\frac{1}{4T} \frac{T e^{\frac{T}{2}} - 2\operatorname{sh} \frac{T}{2}}{\operatorname{sh} \frac{T}{2}} e^{-t}, \quad (6.33)$$

Используя равенство (6.30), представим лаплас-образ $Z p$ в виде

$$\begin{aligned} Z p &= -\frac{1}{2} \cdot \frac{pT^2 \left(1 - \frac{1}{6} pT + \dots\right)}{p^3 T^2 p^2 - 1 \left(1 + \frac{1}{3!} pT^2 + \dots\right)} = \\ &= -\frac{1}{2} \cdot \frac{1 - \frac{1}{6} pT + \dots}{p p^2 - 1 \left(1 + \frac{1}{3!} pT^2 + \dots\right)}. \end{aligned}$$

Как следует из полученного соотношения, точка $p = 0$ является полюсом 1-го порядка функции $Z p$, поэтому получаем

$$\begin{aligned} \operatorname{Res}_{p=0} Z p e^{pt} &= -\frac{1}{2} \lim_{p \rightarrow 0} \left[p \frac{\left(1 - \frac{1}{6} pT + \dots\right) e^{pt}}{p^2 - 1 \left(1 + \frac{1}{3!} pT^2 + \dots\right)} \right] = \\ &= -\frac{1}{2} \cdot \frac{1-0}{0-1} \frac{1+0}{1+0} = \frac{1}{2}. \end{aligned} \quad (6.34)$$

Суммируя результаты полученных равенств (6.31) – (6.34), находим функцию $z(t)$:

$$\begin{aligned} z(t) &= \frac{1}{2} + \frac{1}{4T} \left(\frac{T}{\operatorname{sh} \frac{T}{2}} \left(e^{t-\frac{T}{2}} - e^{-\left(t-\frac{T}{2}\right)} \right) - 2(e^t - e^{-t}) \right) - \frac{2}{T} \sum_{n=1}^{\infty} \frac{\sin n\omega t}{n\omega^2 + 1} = \\ &= \frac{1}{2} + \frac{1}{2\operatorname{sh} \frac{T}{2}} \operatorname{sh} \left(t - \frac{T}{2} \right) - \frac{1}{T} \operatorname{sh} t - T^2 \sum_{n=1}^{\infty} \frac{1}{\pi n^2 + T^2} \sin \frac{2\pi n t}{T}. \end{aligned}$$

Таким образом, решение поставленной задачи Коши для системы дифференциальных уравнений имеет вид

$$\begin{aligned} y(t) &= \frac{1}{T} \operatorname{ch} t - \frac{1}{2\operatorname{sh} \frac{T}{2}} \operatorname{ch} \left(t - \frac{T}{2} \right) + 2T \sum_{n=1}^{\infty} \frac{1}{2\pi n^2 + T^2} \cos \frac{2\pi n t}{T}, \\ z(t) &= \frac{1}{2} + \frac{1}{2\operatorname{sh} \frac{T}{2}} \operatorname{sh} \left(t - \frac{T}{2} \right) - \frac{1}{T} \operatorname{sh} t - T^2 \sum_{n=1}^{\infty} \frac{1}{\pi n^2 + T^2} \sin \frac{2\pi n t}{T}. \end{aligned}$$

Пример 5. Рассмотрим систему двух связанных гармонических осцилляторов массами m_1 и m_2 , которые соединены между собой и с опорами тремя линейными пружинами (рисунок 5) (коэффициенты жесткости трех пружин одинаковы, т.е. $k_1 = k_2 = k_3 = k$). Осцилляторы находятся на гладкой горизонтальной поверхности (пренебрегаем трением). Координаты $x_1(t)$ и $x_2(t)$ определяют смещение осцилляторов от положения статического равновесия масс. На осциллятор с массой m_1 действует периодическая сила $f(t)$ (рисунок 6) с периодом T [$f(t) = f(t+T)$].

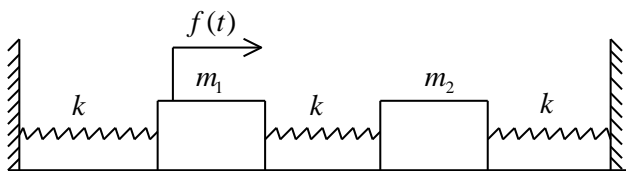


Рисунок 5

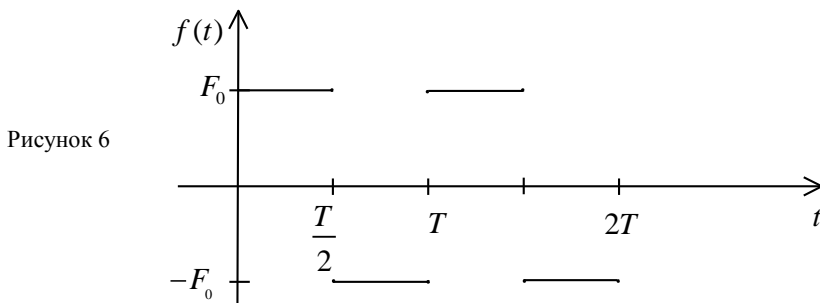


Рисунок 6

Начальные условия для системы осцилляторов полагаем нулевыми, т.е. $x_1(0) = \dot{x}_1(0) = x_2(0) = \dot{x}_2(0) = 0$. Уравнения движения для системы осцилляторов имеют вид

$$\begin{cases} m_1 \ddot{x}_1 = -kx_1 - k(x_1 - x_2) + f(t), \\ m_2 \ddot{x}_2 = -kx_2 - k(x_2 - x_1), \end{cases}$$

или, приводя подобные в правых частях уравнений этой системы, получаем

$$\begin{cases} m_1 \ddot{x}_1 = -2kx_1 + kx_2 + f(t), \\ m_2 \ddot{x}_2 = kx_1 - 2kx_2. \end{cases} \quad (6.35)$$

Далее вводим лаплас-образы неизвестных функций $x_1(t) \rightarrow X_1(p)$, $x_2(t) \rightarrow X_2(p)$. По формуле (5.6) находим лаплас-образ периодической силы $f(t) \rightarrow F(p)$. Получаем

$$F(p) = \frac{F_0 \operatorname{sh} \frac{pT}{4}}{p \operatorname{ch} \frac{pT}{4}}.$$

Тогда, переходя в системе уравнений (6.35) к соответствующим лаплас-образам, получаем систему уравнений вида

$$\begin{cases} m_1 p^2 + 2k X_1 p - k X_2 p = F p, \\ -k X_1 p + m_2 p^2 + 2k X_2 p = 0, \end{cases}$$

решая которую, находим требуемые лаплас-образы. Используя формулы Крамера, получаем

$$X_1 p = \frac{1}{\Delta p} \begin{vmatrix} F p & -k \\ 0 & m_2 p^2 + 2k \end{vmatrix} = \frac{m_2 p^2 + 2k F p}{\Delta p},$$

$$X_2 p = \frac{1}{\Delta p} \begin{vmatrix} m_1 p^2 + 2k & F p \\ -k & 0 \end{vmatrix} = \frac{k F p}{\Delta p},$$

где определитель системы

$$\Delta p = m_1 m_2 p^4 + 2k (m_1 + m_2) p^2 + 3k^2 = m_1 m_2 (p^2 + \omega_1^2) (p^2 + \omega_2^2).$$

При записи определителя Δp мы ввели собственные частоты системы осцилляторов

$$\omega_1^2 = k \frac{m_1 + m_2 - \sqrt{m_1^2 - m_1 m_2 + m_2^2}}{m_1 m_2},$$

$$\omega_2^2 = k \frac{m_1 + m_2 + \sqrt{m_1^2 - m_1 m_2 + m_2^2}}{m_1 m_2}.$$

Таким образом, для лаплас-образа $X_1 p$, с учетом явного выражения для лаплас-образа $F p$, получаем

$$X_1 p = \frac{F_0}{m_1 m_2} \cdot \frac{m_2 p^2 + 2k \operatorname{sh} \frac{pT}{4}}{p (p^2 + \omega_1^2) (p^2 + \omega_2^2) \operatorname{ch} \frac{pT}{4}}.$$

Далее находим функцию-оригинал для лаплас-образа $X_1 p$.

Вводим функцию

$$B p = p (p^2 + \omega_1^2) (p^2 + \omega_2^2) \operatorname{ch} \frac{pT}{4}.$$

Ее производная равна

$$B' p = \frac{T}{4} \operatorname{sh} \frac{pT}{4} p (p^2 + \omega_1^2) (p^2 + \omega_2^2) + \operatorname{ch} \frac{pT}{4} \cdot p (p^2 + \omega_1^2) (p^2 + \omega_2^2) \cdot p'.$$

Вычисляем вычет функции $X_1 p e^{pt}$ в полюсе 1-го порядка $p_n = \frac{i2\pi 2n+1}{T} = i\omega 2n+1$, где $n=0,1,2,\dots$ (корни уравнения $\text{ch} \frac{pT}{4} = 0$). Используя полученное соотношение для производной $B' p$, находим

$$\begin{aligned} \text{Res}_{p=p_n} X_1 p e^{pt} &= \frac{F_0}{m_1 m_2} \cdot \frac{m_2 p_n^2 + 2k \text{sh} \frac{p_n T}{4}}{B' p_n} e^{p_n t} = \\ &= \frac{4F_0}{m_1 m_2 T} \cdot \frac{m_2 p_n^2 + 2k \text{sh} \frac{p_n T}{4}}{p_n (p_n^2 + \omega_1^2) (p_n^2 + \omega_2^2) \text{sh} \frac{p_n T}{4}} e^{p_n t} = \\ &= \frac{4F_0}{m_1 m_2 T} \cdot \frac{2k - m_2 \omega^2 (2n+1)^2 e^{i\omega(2n+1)t}}{i\omega (2n+1) (\omega_1^2 - \omega^2) (2n+1)^2 (\omega_2^2 - \omega^2) (2n+1)^2} = \\ &= \frac{4F_0}{m_1 m_2 T} \cdot \frac{2k - m_2 \omega^2 (2n+1)^2 \cos \omega (2n+1)t + i \sin \omega (2n+1)t}{i\omega (2n+1) (\omega^2 (2n+1)^2 - \omega_1^2) (\omega^2 (2n+1)^2 - \omega_2^2)}. \end{aligned}$$

Действительная часть полученного выражения

$$\begin{aligned} \text{ReRes}_{p=p_n} X_1 p e^{pt} &= \frac{4F_0}{m_1 m_2 T} \cdot \frac{2k - m_2 \omega^2 (2n+1)^2}{\omega (2n+1) (\omega^2 (2n+1)^2 - \omega_1^2)} \times \\ &\quad \times \frac{\sin \omega (2n+1)t}{\omega^2 (2n+1)^2 - \omega_2^2}. \end{aligned} \quad (6.36)$$

Представив функцию $B p$ в виде

$$B p = p (p - i\omega_1) (p + i\omega_1) (p^2 + \omega_2^2) \text{ch} \frac{pT}{4},$$

вычисляем вычет функции $X_1 p e^{pt}$ в полюсе $p = i\omega_1$:

$$\begin{aligned}
\operatorname{Res}_{p=i\omega_1} X_1 p e^{pt} &= \frac{F_0}{m_1 m_2} \lim_{p \rightarrow i\omega_1} \left[p - i\omega_1 \frac{m_2 p^2 + 2k}{p - i\omega_1} \frac{1}{p + i\omega_1} \times \right. \\
&\times \left. \frac{\operatorname{sh} \frac{p_n T}{4} e^{p_n t}}{p^2 + \omega_2^2} \operatorname{ch} \frac{pT}{4} \right] = \frac{F_0}{m_1 m_2} \cdot \frac{2k - m_2 \omega_1^2}{2 i \omega_1^2} \frac{\operatorname{sh} \frac{i\omega_1 T}{4} e^{i\omega_1 t}}{\omega_2^2 - \omega_1^2} \frac{i\omega_1 T}{4} = \\
&= \frac{F_0}{2m_1 m_2} \cdot \frac{2k - m_2 \omega_1^2}{i \omega_1^2} \frac{\sin \frac{\omega_1 T}{4} \cos \omega_1 t + i \sin \omega_1 t}{\omega_2^2 - \omega_1^2} \frac{\cos \frac{\omega_1 T}{4}}{4}
\end{aligned}$$

Выделяя действительную часть, получаем

$$\operatorname{ReRes}_{p=i\omega_1} X_1 p e^{pt} = \frac{F_0}{2m_1 m_2} \cdot \frac{2k - m_2 \omega_1^2}{\omega_1^2} \frac{\operatorname{tg} \frac{\omega_1 T}{4} \sin \omega_1 t}{\omega_2^2 - \omega_1^2}. \quad (6.37)$$

Аналогичным образом, используя для функции $B(p)$ представление $B(p) = p \frac{1}{p^2 + \omega_1^2} \frac{1}{p - i\omega_2} \frac{1}{p + i\omega_2} \operatorname{ch} \frac{pT}{4}$, вычисляем

$$\operatorname{ReRes}_{p=i\omega_2} X_1 p e^{pt} = -\frac{F_0}{2m_1 m_2} \cdot \frac{2k - m_2 \omega_2^2}{\omega_2^2} \frac{\operatorname{tg} \frac{\omega_2 T}{4} \sin \omega_2 t}{\omega_2^2 - \omega_1^2}. \quad (6.38)$$

Точка $p = 0$ не является полюсом функции $X_1 p$. Действительно, используя разложение гиперболического синуса в ряд Маклорена (формулы (6.23)), получаем

$$\lim_{p \rightarrow 0} X_1 p = \frac{F_0}{m_1 m_2} \lim_{p \rightarrow 0} \frac{m_2 p^2 + 2k}{p} \frac{1}{p^2 + \omega_1^2} \frac{1}{p^2 + \omega_2^2} \frac{1}{\operatorname{ch} \frac{pT}{4}} = \frac{F_0 T_k}{2m_1 m_2 \omega_1^2 \omega_2^2}.$$

Суммируя результаты равенств (6.36), (6.37), (6.38), находим координату первого осциллятора (ее зависимость от времени)

$$x_1(t) = 2 \operatorname{ReRes}_{p=i\omega_1} X_1 p e^{pt} + 2 \operatorname{ReRes}_{p=i\omega_2} X_1 p e^{pt} +$$

$$\begin{aligned}
& + \sum_{n=0}^{\infty} 2 \operatorname{ReRes}_{p=p_n} X_1 p e^{pt} = \frac{F_0}{m_1 m_2 \omega_2^2 - \omega_1^2} \left(\frac{2k - m_2 \omega_1^2}{\omega_1^2} \operatorname{tg} \frac{\omega_1 T}{4} \times \right. \\
& \quad \left. \times \sin \omega_1 t - \frac{2k - m_2 \omega_2^2}{\omega_2^2} \operatorname{tg} \frac{\omega_2 T}{4} \sin \omega_2 t \right) + \frac{4F_0}{\pi m_1 m_2} \times \\
& \quad \times \sum_{n=0}^{\infty} \frac{2k - m_2 \omega_2^2 \sin \omega_2 t}{2n+1 \omega_2^2 - \omega_1^2} \frac{2n+1 \sin \omega_2 t}{2n+1 \omega_2^2 - \omega_1^2},
\end{aligned}$$

где при записи последнего выражения мы использовали равенство $\omega T = 2\pi$.

Для лаплас-образа $X_2 p$ мы получили следующее выражение:

$$X_2 p = \frac{kF p}{\Delta p} = \frac{kF_0}{m_1 m_2} \cdot \frac{\operatorname{sh} \frac{pT}{4}}{p^2 + \omega_1^2} \cdot \frac{1}{p^2 + \omega_2^2 \operatorname{ch} \frac{pT}{4}}.$$

Все дальнейшие вычисления аналогичны предыдущим, поэтому сразу приводим результаты:

$$\operatorname{ReRes}_{p=i\omega_1} X_2 p e^{pt} = \frac{kF_0}{2m_1 m_2} \cdot \frac{\operatorname{tg} \frac{\omega_1 T}{4} \sin \omega_1 t}{\omega_1^2 \omega_2^2 - \omega_1^2}, \quad (6.39)$$

$$\operatorname{ReRes}_{p=i\omega_2} X_2 p e^{pt} = -\frac{kF_0}{2m_1 m_2} \cdot \frac{\operatorname{tg} \frac{\omega_2 T}{4} \sin \omega_2 t}{\omega_2^2 \omega_2^2 - \omega_1^2}, \quad (6.40)$$

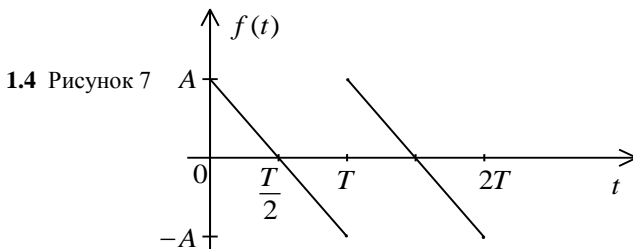
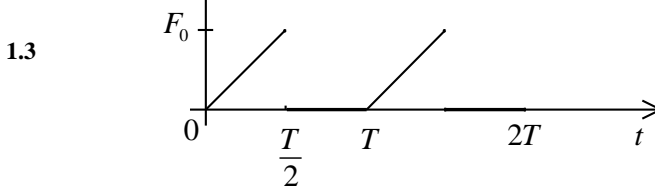
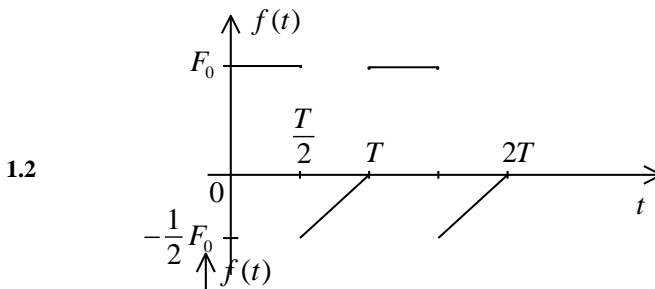
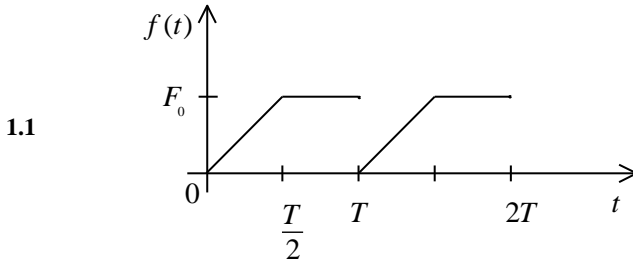
$$\begin{aligned}
\operatorname{ReRes}_{p=p_n} X_2 p e^{pt} &= \frac{2kF_0}{\pi m_1 m_2} \cdot \frac{\sin \omega_2 t}{2n+1 \omega_2^2 - \omega_1^2} \times \\
&\quad \times \frac{1}{\omega_2^2 2n+1^2 - \omega_2^2}. \quad (6.41)
\end{aligned}$$

Суммируя результаты равенств (6.39) – (6.41), находим координату второго осциллятора

$$x_2 t = \frac{kF_0}{m_1 m_2 \omega_2^2 - \omega_1^2} \left(\frac{1}{\omega_1^2} \operatorname{tg} \frac{\omega_1 T}{4} \sin \omega_1 t - \frac{1}{\omega_2^2} \operatorname{tg} \frac{\omega_2 T}{4} \sin \omega_2 t \right) +$$

$$+ \frac{4kF_0}{\pi m_1 m_2} \sum_{n=0}^{\infty} \frac{\sin \omega (2n+1) t}{2n+1 \omega^2 (2n+1)^2 - \omega_1^2 \omega^2 (2n+1)^2 - \omega_2^2}.$$

Упражнение 1. Найти лаплас-образы данных периодических функций периода T $f(t) = f(t+T)$ (рисунок 7).



Отв.

$$1.1 \quad F_p = \frac{F_0 \left(2 \left(e^{\frac{pT}{2}} - 1 \right) - Tpe^{-\frac{pT}{2}} \right)}{2Tp^2 \operatorname{sh} \frac{pT}{2}}.$$

$$1.2 \quad F_p = \frac{F_0 \left(2Tp \left(\operatorname{ch} \frac{pT}{2} - 1 \right) + 1 - e^{-\frac{pT}{2}} \right)}{2Tp^2 \operatorname{sh} \frac{pT}{2}}.$$

$$1.3 \quad F_p = \frac{F_0 \left(2 \left(e^{\frac{pT}{2}} - 1 \right) - Tp \right)}{2Tp^2 \operatorname{sh} \frac{pT}{2}}.$$

$$1.4 \quad F_p = \frac{A \left(2Tp \operatorname{ch} \frac{pT}{2} - 4 \operatorname{sh} \frac{pT}{2} \right)}{2Tp^2 \operatorname{sh} \frac{pT}{2}}.$$

Упражнение 2. Найти лаплас-образы периодической функции периода $f(t)$ с периодом $3T$ $f(t) = f(t + 3T)$ (рисунок 8).

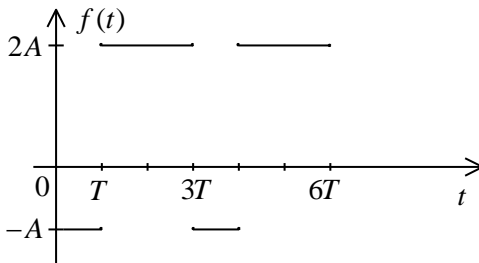


Рисунок 8

$$\text{Отв. } F_p = \frac{A \left(3e^{\frac{pT}{2}} - e^{-\frac{3pT}{2}} - 2 \operatorname{ch} \frac{3pT}{2} \right)}{2p \operatorname{sh} \frac{3pT}{2}}.$$

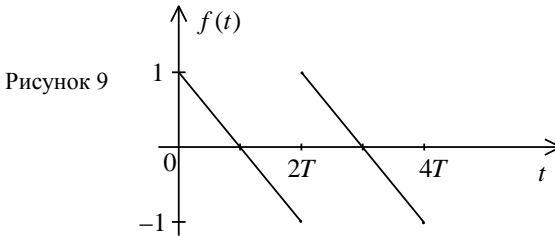
Упражнение 3. Найти решение поставленной задачи Коши.

3.1 $x'' + 4x = f(t)$, $x(0) = x'(0) = 0$, $f(t)$ – периодическая сила с периодом $3T$ (см. рисунок 8).

Отв.

$$x(t) = \frac{A}{6} - \frac{A}{8\sin 3T} 6\sin 2T \sin T \sin 2t + (3\sin T + \sin 3T) \cos 2t + \\ + \frac{27AT^2}{2} \sum_{n=0}^{\infty} \frac{(-1)^n \sin \frac{\pi n(2t+T)}{3T} - \sin \frac{2\pi nt}{3T}}{9T^2 - (\pi n)^2}.$$

3.2 $y'' - y = f(t)$, $y(0) = y'(0) = 0$, $f(t)$ – периодическая сила с периодом $2T$ $f(t) = f(t+2T)$ (рисунок 9).



Отв. $y(t) = \frac{1}{T}(T\text{ch}T - 1)\text{sht} - 2T^2 \sum_{n=1}^{\infty} \frac{1}{\pi n((\pi n)^2 + T^2)} \sin \frac{\pi nt}{T}.$

3.3 $y'' + k^2 y = f(t)$, $y(0) = y'(0) = 0$, $f(t)$ – периодическая сила с периодом $2T$ $f(t) = f(t+2T)$ (рисунок 10).

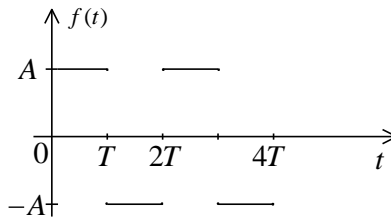


Рисунок 10

Отв. $y(t) = \frac{A}{k^2} \text{tg} \frac{kT}{2} \sin kt + \frac{4AT^2}{\pi} \sum_{n=1}^{\infty} \frac{\sin \frac{\pi(2n+1)t}{T}}{(2n+1)((kT)^2 - \pi^2(2n+1)^2)}.$

3.4 $x'' + x = f(t)$, $x(0) = x'(0) = 0$, $f(t)$ – периодическая сила с периодом $2T$ $f(t) = f(t + 2T)$ (рисунок 11).

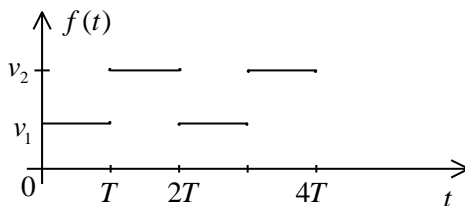


Рисунок 11

$$\text{Отв. } x(t) = \frac{1}{2}(v_1 + v_2) - \frac{1}{2}(v_2 - v_1) \operatorname{tg} \frac{T}{2} \sin t - \frac{1}{2}(v_1 + v_2) \cos t + \\ + 2T^2(v_2 - v_1) \sum_{k=0}^{\infty} \frac{\sin \frac{\pi(2k+1)t}{T}}{\pi(2k+1)(\pi^2(2k+1)^2 - T^2)}.$$

ПРИЛОЖЕНИЕ А
(справочное)

Гамма-функция Эйлера

Интеграл

$$\Gamma z = \int_0^{+\infty} e^{-x} x^{z-1} dx, \quad (\text{A.1})$$

сходящийся для любого комплексного значения z в полуплоскости $\text{Re } z > 0$, называется эйлеровым интегралом II рода. Функция Γz , представленная этим интегралом, является аналитической в области $\text{Re } z > 0$. Эта функция называется гамма-функцией Эйлера.

Вычисляя интеграл (A.1) по частям

$$\begin{aligned} \int_0^{+\infty} e^{-x} x^{z-1} dx &= \frac{1}{z} \int_0^{+\infty} e^{-x} dx^z = e^{-x} x^z \Big|_0^{+\infty} + \frac{1}{z} \int_0^{+\infty} e^{-x} x^z dx = \\ &= \lim_{x \rightarrow +\infty} e^{-x} x^z + \frac{1}{z} \int_0^{+\infty} e^{-x} x^z dx = \frac{1}{z} \int_0^{+\infty} e^{-x} x^z dx = \frac{1}{z} \Gamma z, \end{aligned}$$

получаем основное функциональное соотношение для гамма-функции

$$\Gamma z + 1 = z \Gamma z. \quad (\text{A.2})$$

Учитывая очевидное равенство $\Gamma 1 = 1$, при помощи соотношения (A.2) получаем

$$\Gamma z + n = z + n - 1 \dots z + 1 \Gamma z \quad (\text{A.3})$$

и

$$\Gamma n + 1 = n!,$$

где n – натуральное число.

Соотношение (A.3) позволяет построить аналитическое продолжение гамма-функции на всю плоскость. При этом продолженная функция будет в точках $0, 1, 2, \dots$ иметь простые полюсы. В самом деле,

$$\Gamma z \ z + n = \frac{\Gamma z + n + 1}{z + n - 1 \dots z}.$$

Но в правой части этого равенства записана функция, аналитическая в некоторой окрестности точки $z = -n$. Поэтому при $z = -n$ гамма-функция имеет простой полюс с вычетом

$$\operatorname{Res}_{z=-n} \Gamma z = \Gamma z \cdot z+n \Big|_{z=-n} = \frac{\Gamma 1}{-1 \dots -n} = \frac{-1^n}{n!},$$

где $n=0,1,2,\dots$.

Имеется ещё одно функциональное соотношение для гамма-функции

$$\Gamma z \Gamma 1-z = \frac{\pi}{\sin \pi z}. \quad (\text{A.4})$$

Из этого соотношения непосредственно вытекают формулы

$$\Gamma\left(\frac{1}{2}\right) = \sqrt{\pi}, \quad \Gamma\left(n+\frac{1}{2}\right) = \frac{\sqrt{\pi}}{2^n} 2n-1 !!, \quad n=1,2,\dots$$

Из соотношения (A.4) также вытекает, что гамма-функция нигде в комплексной плоскости не обращается в 0. Это означает, что функция $\frac{1}{\Gamma z}$ является целой аналитической функцией с простыми нулями в точках $0; -1; -2; \dots$. Эта функция может быть представлена в виде бесконечного произведения

$$\frac{1}{\Gamma z} = z e^{cz} \prod_{k=1}^{\infty} \left(1 + \frac{z}{k}\right) e^{-\frac{z}{k}}, \quad (\text{A.5})$$

где $c=0,577216$ – постоянная Эйлера,

$$c = \lim_{n \rightarrow \infty} \left(\sum_{k=1}^n \frac{1}{k} - \ln n \right).$$

Логарифмируя соотношение (п. 1.5) и дифференцируя результат по z , можно получить формулу

$$\frac{\Gamma' z}{\Gamma z} = \frac{d}{dz} \ln \Gamma z = -c - \frac{1}{z} - \sum_{k=1}^{\infty} \left(\frac{1}{z+k} - \frac{1}{k} \right).$$

В частности,

$$\frac{\Gamma' n}{\Gamma n} = \sum_{k=1}^{\infty} \frac{1}{k} - c.$$

ПРИЛОЖЕНИЕ Б
(справочное)

Лаплас-образы некоторых элементарных функций

$$\frac{1}{p} \square 1;$$

$$\frac{1}{p^2} \square t;$$

$$\frac{n!}{p^{n+1}} \square t^n \quad n \in N;$$

$$\frac{\Gamma(v+1)}{p^{v+1}} \square t^v \quad v \in \square;$$

$$\frac{\omega}{p^2 + \omega^2} \square \sin \omega t;$$

$$\frac{p}{p^2 + \omega^2} \square \cos \omega t;$$

$$\frac{\omega}{p^2 - \omega^2} \square \operatorname{sh} \omega t;$$

$$\frac{\omega}{p^2 - \omega^2} \square \operatorname{ch} \omega t;$$

$$\frac{1}{p - \alpha} \square e^{\alpha t};$$

$$\frac{n!}{p - \alpha^{n+1}} \square t^n e^{\alpha t};$$

$$\frac{\omega}{p - \alpha^2 + \omega^2} \square e^{\alpha t} \sin \omega t;$$

$$\frac{p - \alpha}{p - \alpha^2 + \omega^2} \square e^{\alpha t} \cos \omega t;$$

$$\frac{\omega \sqrt{\pi}}{2p \sqrt{p}} e^{-\frac{\omega^2}{4p}} \square \sin \omega \sqrt{t};$$

$$\sqrt{\frac{\pi}{p}} e^{-\frac{\omega^2}{4p}} \square \frac{\cos \omega \sqrt{t}}{\sqrt{t}};$$

$$\frac{\omega \sqrt{\pi}}{2p \sqrt{p}} e^{-\frac{\omega^2}{4p}} \square \operatorname{sh} \omega \sqrt{t};$$

$$\sqrt{\frac{\pi}{p}} e^{-\frac{\omega^2}{4p}} \square \frac{\operatorname{ch} \omega \sqrt{t}}{\sqrt{t}};$$

$$e^{-\lambda \sqrt{p}} \square \frac{\lambda}{2\sqrt{\pi t^3}} e^{-\frac{\lambda^2}{4t}} \quad \lambda > 0;$$

$$\frac{1}{\sqrt{p}} e^{-\lambda \sqrt{p}} \square \frac{1}{\sqrt{\pi t}} e^{-\frac{\lambda^2}{4t}} \quad \lambda > 0;$$

$$\frac{1}{p} \square \frac{1}{p^2 + \omega^2} \square \frac{1}{\omega^2} 1 - \cos \omega t;$$

$$\frac{p + \alpha}{p^2} \square \frac{\alpha - a}{a^2} e^{-at} + \frac{\alpha}{a} t + \frac{a - \alpha}{a^2};$$

$$\frac{p^2 + \alpha p + \beta}{p^2} \square \frac{a^2 - \alpha \alpha + \beta}{a^2} e^{-at} + \frac{\beta}{a} t + \frac{\alpha \alpha - \beta}{a^2};$$

$$\frac{p + \alpha}{p} \square \frac{\alpha}{p + a} \square \frac{\alpha}{a^2} + \left(\frac{a - \alpha}{a} t - \frac{\alpha}{a^2} \right) e^{-at};$$

$$\frac{p^2 + \alpha p + \beta}{p} \square \frac{\beta}{p + a} \square \frac{\beta}{a^2} + \left(\frac{\alpha \alpha - \beta - a^2}{a} t + \frac{a^2 - \beta}{a^2} \right) e^{-at};$$

$$\frac{1}{p + a} \square \frac{1}{p + b} \square \frac{e^{-bt} - e^{-at}}{a - b};$$

$$\frac{p + \alpha}{p} \square \frac{p + \alpha}{p + a} \square \frac{\alpha}{p + b} \square \frac{\alpha}{ab} + \frac{\alpha - a}{a} \frac{1}{a - b} e^{-at} + \frac{\alpha - b}{b} \frac{1}{b - a} e^{-bt};$$

$$\frac{p}{p + a} \square \frac{p}{p + b} \square \frac{be^{-bt} - ae^{-at}}{b - a};$$

$$\frac{1}{p + a} \square \frac{1}{p + b} \square \frac{1}{p + c} \square \frac{c - b}{a - b} \frac{e^{-at} + a - c}{b - c} \frac{e^{-bt} + b - a}{c - a} e^{-ct};$$

$$\frac{p}{p + a} \square \frac{p}{p + b} \square \frac{p}{p + c} \square \frac{a}{a - b} \frac{b - c}{b - c} \frac{e^{-at} + b}{c - a} \frac{c - a}{c - a} \frac{e^{-bt} + c}{c - a} \frac{a - b}{c - a} e^{-ct};$$

$$\frac{P}{p + \alpha} \square \frac{P}{\omega^2} \square \left(\cos \omega t - \frac{\alpha}{\omega} \sin \omega t \right) e^{-\alpha t};$$

$$\frac{P}{p + \alpha} \square \frac{P}{3} \square t \left(1 - \frac{1}{2} \alpha t \right) e^{-\alpha t};$$

$$\frac{1}{p + a} \square \frac{1}{p + b} \square \frac{1}{b^2} \square \frac{e^{-at} - 1 - a - b t}{a - b} \frac{e^{-bt}}{b^2};$$

$$\frac{p}{p + a} \square \frac{p}{p + b} \square \frac{1}{b^2} \square \frac{a - b}{a - b} \frac{a - b t}{a - b} \frac{e^{-bt} - ae^{-at}}{a - b};$$

$$\frac{p + \alpha}{p + a} \square \frac{p + \alpha}{p + b} \square \frac{\alpha - a}{b - a} \frac{1}{b - a} e^{-at} + \left(\frac{\alpha - b}{a - b} t + \frac{a - \alpha}{a - b} \right) e^{-bt};$$

$$\frac{1}{p^4 + \omega^4} \square \frac{1}{\omega^3 \sqrt{2}} \left(\operatorname{ch} \frac{\omega t}{\sqrt{2}} \sin \frac{\omega t}{\sqrt{2}} - \operatorname{sh} \frac{\omega t}{\sqrt{2}} \cos \frac{\omega t}{\sqrt{2}} \right);$$

$$\frac{p}{p^4 + \omega^4} \square \frac{1}{\omega^2} \sin \frac{\omega t}{\sqrt{2}} \operatorname{sh} \frac{\omega t}{\sqrt{2}};$$

$$\frac{p^2}{p^4 + \omega^4} \square \frac{1}{\omega \sqrt{2}} \left(\cos \frac{\omega t}{\sqrt{2}} \operatorname{sh} \frac{\omega t}{\sqrt{2}} + \sin \frac{\omega t}{\sqrt{2}} \operatorname{ch} \frac{\omega t}{\sqrt{2}} \right);$$

$$\frac{p^3}{p^4 + \omega^4} \square \cos \frac{\omega t}{\sqrt{2}} \operatorname{ch} \frac{\omega t}{\sqrt{2}};$$

$$\frac{1}{p^4 - \omega^4} \square \frac{1}{2\omega^3} \operatorname{sh} \omega t - \sin \omega t ;$$

$$\frac{p}{p^4 - \omega^4} \square \frac{1}{2\omega^2} \operatorname{ch} \omega t - \cos \omega t ;$$

$$\frac{p^2}{p^4 - \omega^4} \square \frac{1}{2\omega} \operatorname{sh} \omega t + \sin \omega t ;$$

$$\frac{p^3}{p^4 - \omega^4} \square \frac{1}{2} \operatorname{ch} \omega t + \cos \omega t ;$$

$$\frac{1}{p^2 + \omega^2} \square \frac{1}{\omega^4} (1 - \cos \omega t) - \frac{1}{2\omega^3} t \sin \omega t;$$

$$\frac{1}{p^2 + \omega^2} \square \frac{1}{2\omega^3} \sin \omega t - \frac{1}{2\omega^2} t \cos \omega t;$$

$$\frac{p^2}{p^2 + \omega^2} \square \frac{1}{2\omega} \sin \omega t + \omega t \cos \omega t ;$$

$$\frac{p^2 - \omega^2}{p^2 + \omega^2} \square \frac{1}{2} t \cos \omega t ;$$

$$\frac{1}{p^3} \frac{1}{p^2 + \omega^2} \square \frac{1}{2\omega^2} t^2 + \frac{1}{\omega^4} \cos \omega t - 1 ;$$

$$\frac{1}{p^3} \frac{1}{p^2 - \omega^2} \square \frac{1}{\omega^4} \operatorname{ch} \omega t - 1 - \frac{1}{2\omega^2} t^2 ;$$

$$\frac{1}{p^2 + \alpha^2 + \omega^2} \square \frac{1}{2\omega^3} e^{-\alpha t} \sin \omega t - \omega t \cos \omega t ;$$

$$\frac{p+\alpha}{p^2+\omega^2} \square \frac{1}{2\omega} te^{-\alpha t} \sin \omega t; \quad \frac{p+\alpha^2-\omega^2}{p^2+\omega^2} \square te^{-\alpha t} \cos \omega t;$$

$$\frac{1}{p^2+a^2} \square \frac{1}{p^2+b^2} \square \frac{a \sin bt - b \sin at}{ab(a^2-b^2)};$$

$$\frac{p}{p^2+a^2} \square \frac{1}{p^2+b^2} \square \frac{\cos bt - \cos at}{a^2-b^2};$$

$$\frac{p^2}{p^2+a^2} \square \frac{1}{p^2+b^2} \square \frac{a \sin at - b \sin bt}{a^2-b^2};$$

$$\frac{p^3}{p^2+a^2} \square \frac{1}{p^2+b^2} \square \frac{a^2 \cos at - b^2 \cos bt}{a^2-b^2};$$

$$\frac{1}{p^2-a^2} \square \frac{1}{p^2-b^2} \square \frac{b \sin at - a \sin bt}{ab(a^2-b^2)}; \quad \frac{p}{p^2-a^2} \square \frac{1}{p^2-b^2} \square \frac{chbt - chat}{b^2-a^2};$$

$$\frac{p^2}{p^2-a^2} \square \frac{1}{p^2-b^2} \square \frac{a \sin at - b \sin bt}{a^2-b^2};$$

$$\frac{p^3}{p^2-a^2} \square \frac{1}{p^2-b^2} \square \frac{a^2 \sin at - b^2 \sin bt}{a^2-b^2};$$

$$\frac{p+\alpha}{p^2+a^2} \square \frac{1}{p^2+b^2} \square \left(\frac{\alpha-a}{b-a} t + \frac{a+b-2\alpha}{b-a} \right) e^{-\alpha t} +$$

$$+ \left(\frac{\alpha-b}{a-b} t + \frac{a+b-2\alpha}{a-b} \right) e^{-bt};$$

$$\frac{1}{p^2+\omega^2} \square \frac{1}{3\omega^5} (3-\omega^2 t^2) \sin \omega t - 3\omega t \cos \omega t;$$

$$\frac{p}{p^2+\omega^2} \square \frac{1}{2\omega} t \sin \omega t - \omega t \cos \omega t;$$

$$\frac{p^2}{p^2+\omega^2} \square \frac{1}{2\omega} (1+\omega^2 t^2) \sin \omega t - \omega t \cos \omega t;$$

$$\frac{1}{\sqrt{p}} \square \frac{1}{\sqrt{\pi t}}; \quad \frac{1}{p\sqrt{p}} \square 2\sqrt{\frac{t}{\pi}}; \quad \frac{1}{p^n \sqrt{p}} \square \frac{1}{\sqrt{\pi t}} \frac{2^n t^n}{2n-1!!};$$

$$\frac{1}{p\sqrt{p+a}} \square \frac{1}{a} 1 - e^{a^2 t} 1 - \Phi a\sqrt{t} \quad ,$$

где $\Phi s = \frac{2}{\sqrt{\pi}} \int_0^s e^{-y^2} dy$ – функция Лапласа;

$$\frac{1}{\sqrt{p+a}} \square \frac{1}{\sqrt{\pi t}} - a e^{a^2 t} 1 - \Phi a\sqrt{t} \quad ;$$

$$\frac{1}{\sqrt{p+a}^2} \square 2a^2 t + 1 e^{a^2 t} 1 - \Phi a\sqrt{t} - 2a\sqrt{\frac{t}{\pi}};$$

$$\frac{1}{p\sqrt{p+a}^2} \square \frac{1}{a^2} + \left(2t - \frac{1}{a^2}\right) e^{a^2 t} 1 - \Phi a\sqrt{t} - \frac{2}{a}\sqrt{\frac{t}{\pi}};$$

$$\frac{1}{\sqrt{p}\sqrt{p+a}} \square e^{a^2 t} 1 - \Phi a\sqrt{t} - \frac{1}{\sqrt{p}\sqrt{p+a}^2} \square 2\sqrt{\frac{t}{\pi}} - 2ate^{a^2 t} 1 - \Phi a\sqrt{t} \quad ;$$

$$\frac{a - \sqrt{p}}{p\sqrt{p+a}} \square 1 - 2e^{a^2 t} 1 - \Phi a\sqrt{t} \quad ;$$

$$\frac{e^{-\lambda\sqrt{p}}}{p^2} \square \left(t + \frac{\lambda^2}{2}\right) \left(1 - \Phi\left(\frac{\lambda}{2\sqrt{t}}\right)\right) - \lambda\sqrt{\frac{t}{\pi}} e^{-\frac{\lambda^2}{4t}};$$

$$\frac{e^{-\lambda\sqrt{p}}}{p\sqrt{p+a}} \square \frac{1}{a} \left(1 - \Phi\left(\frac{\lambda}{2\sqrt{t}}\right)\right) - \frac{1}{a} e^{a\lambda + a^2 t} \left(1 - \Phi\left(\frac{\lambda}{2\sqrt{t}} + a\sqrt{t}\right)\right);$$

$$\frac{e^{-\lambda\sqrt{p}}}{p} \square 1 - \Phi\left(\frac{\lambda}{2\sqrt{t}}\right);$$

$$\frac{e^{-\lambda\sqrt{p}}}{\sqrt{p+a}} \square \frac{1}{\sqrt{\pi t}} e^{-\frac{\lambda^2}{4t}} - a e^{a\lambda + a^2 t} \left(1 - \Phi\left(\frac{\lambda}{2\sqrt{t}} + a\sqrt{t}\right)\right);$$

$$\frac{e^{-\lambda\sqrt{p}}}{p\sqrt{p+a}} \square \frac{1}{a^2} \left(1 - \Phi \left(\frac{\lambda}{2\sqrt{t}} \right) \right) - \frac{2\sqrt{t}}{a\sqrt{\pi}} e^{-\frac{\lambda^2}{4t}} + \left(2t + \frac{\lambda}{a} - \frac{1}{a^2} \right) e^{a\lambda+a^2t} \cdot \left(1 - \Phi \left(\frac{\lambda}{2\sqrt{t}} + a\sqrt{t} \right) \right);$$

$$\frac{e^{-\lambda\sqrt{p}}}{\sqrt{p+a}} \square 2at^2 + \lambda a + 1 e^{a\lambda+a^2t} \left(1 - \Phi \left(\frac{\lambda}{2\sqrt{t}} + a\sqrt{t} \right) \right) - 2a\sqrt{t} \frac{e^{-\frac{\lambda^2}{4t}}}{\sqrt{\pi}};$$

$$\frac{e^{-\lambda\sqrt{p}}}{\sqrt{p}\sqrt{p+a}} \square 2\sqrt{\frac{\pi}{t}} e^{-\frac{\lambda^2}{4t}} - 2at + \lambda e^{a\lambda+a^2t} \left(1 - \Phi \left(\frac{\lambda}{2\sqrt{t}} + a\sqrt{t} \right) \right);$$

$$\frac{e^{-\sqrt{\alpha} p + \beta}}{p} \square \frac{1}{2} \left(e^{-\sqrt{\alpha\beta}} \left(1 - \Phi \left(\frac{1}{2\sqrt{t}} \sqrt{\frac{\alpha}{t}} - \sqrt{\beta t} \right) \right) + e^{\sqrt{\alpha\beta}} \left(1 - \Phi \left(\frac{1}{2\sqrt{t}} \sqrt{\frac{\alpha}{t}} + \sqrt{\beta t} \right) \right) \right);$$

$$e^{-\sqrt{\alpha} p + \beta} \square \frac{\sqrt{\alpha}}{2\sqrt{\pi t^3}} \exp \left(-\beta t - \frac{\alpha}{4t} \right).$$

СПИСОК ЛИТЕРАТУРЫ

- 1 **Богданов, Ю. С.** Курс дифференциальных уравнений / Ю. С. Богданов, С. А. Мазаник, Ю. Б. Сыроид. – Минск : Універсітэцкае, 1996. – 287 с.
- 2 **Минюк, С. А.** Математика для инженеров. В 2 т. / С. А. Минюк, Н. С. Березкина, А. В. Метельский. – Минск : Элайда, 2004. – Т. 2. – 592 с.
- 3 **Матвеев, Н. М.** Методы интегрирования обыкновенных дифференциальных уравнений / Н. М. Матвеев. – Минск : Вышэйшая школа, 1974. – 766 с.
- 4 **Тихонов, А. Н.** Дифференциальные уравнения / А. Н. Тихонов, А. Б. Васильева, А. Г. Свешников. – Москва : Наука, 1985. – 231 с.
- 5 **Эльсгольц, Л. Э.** Дифференциальные уравнения и вариационное исчисление / Л. Э. Эльсгольц. – М. : Наука, 1969. – 320 с.
- 6 **Краснов, М. Л.** Операционное исчисление. Теория устойчивости / М. Л. Краснов, А. И. Киселев, Г. И. Макаренко. – М. : Книжный дом «ЛИБРОКОМ», 2009. – 176 с.
- 7 **Дудко, С. А.** Операционное исчисление и его приложение : пособие. В 2 ч. / С. А. Дудко, Ю. И. Кулаженко. – Гомель : БелГУТ, 2003. – Ч. 1. – 87 с.

СОДЕРЖАНИЕ

6 Дифференциальные уравнения и системы дифференциальных уравнений с периодическими внешними силами.....	3
6.1 Метод Фурье.....	3
6.2 Операционный метод.....	7
Приложение А Гамма-функция Эйлера.....	33
Приложение Б Лаплас-образы некоторых элементарных функций.....	35
Список литературы.....	40

Учебное издание

ДУДКО Сергей Алексеевич
ЗАДОРЖНЮК Елена Андреевна
ПРОКОПЕНКО Алла Ивановна

СИСТЕМЫ ДИФФЕРЕНЦИАЛЬНЫХ УРАВНЕНИЙ
Часть 3. Системы дифференциальных уравнений
специального вида

Учебно-методическое пособие

Редактор И. И. Эвентов
Технический редактор В. Н. Кучерова

Подписано в печать 31.01.2013 г. Формат 60×84 1/16
Бумага офсетная. Гарнитура Таймс. Печать на ризографе.
Усл. печ. л. 2,32. Уч.-изд. л. 1,57. Тираж 250 экз.
Зак № 382. Изд № 55.

Издатель и полиграфическое исполнение
Белорусский государственный университет транспорта:
ЛИ № 02330/0552508 от 09.07.2009 г.
ЛП № 02330/0494150 от 03.04.2009 г.
246653, г. Гомель, ул. Кирова, 34